

<b>Zeitschrift:</b>	Archives des sciences [1948-1980]
<b>Herausgeber:</b>	Société de Physique et d'Histoire Naturelle de Genève
<b>Band:</b>	13 (1960)
<b>Heft:</b>	9: Colloque Ampère
<b>Artikel:</b>	Calcul et mesure de l'affaiblissement du à une plaquette mince de ferrite aimanté placée dans un guide rectangulaire à 3,7 GHz
<b>Autor:</b>	Dormann, Jean-Louis
<b>DOI:</b>	<a href="https://doi.org/10.5169/seals-738557">https://doi.org/10.5169/seals-738557</a>

### Nutzungsbedingungen

Die ETH-Bibliothek ist die Anbieterin der digitalisierten Zeitschriften auf E-Periodica. Sie besitzt keine Urheberrechte an den Zeitschriften und ist nicht verantwortlich für deren Inhalte. Die Rechte liegen in der Regel bei den Herausgebern beziehungsweise den externen Rechteinhabern. Das Veröffentlichen von Bildern in Print- und Online-Publikationen sowie auf Social Media-Kanälen oder Webseiten ist nur mit vorheriger Genehmigung der Rechteinhaber erlaubt. [Mehr erfahren](#)

### Conditions d'utilisation

L'ETH Library est le fournisseur des revues numérisées. Elle ne détient aucun droit d'auteur sur les revues et n'est pas responsable de leur contenu. En règle générale, les droits sont détenus par les éditeurs ou les détenteurs de droits externes. La reproduction d'images dans des publications imprimées ou en ligne ainsi que sur des canaux de médias sociaux ou des sites web n'est autorisée qu'avec l'accord préalable des détenteurs des droits. [En savoir plus](#)

### Terms of use

The ETH Library is the provider of the digitised journals. It does not own any copyrights to the journals and is not responsible for their content. The rights usually lie with the publishers or the external rights holders. Publishing images in print and online publications, as well as on social media channels or websites, is only permitted with the prior consent of the rights holders. [Find out more](#)

**Download PDF:** 13.01.2026

**ETH-Bibliothek Zürich, E-Periodica, <https://www.e-periodica.ch>**

# **Calcul et mesure de l'affaiblissement du à une plaquette mince de ferrite aimanté placée dans un guide rectangulaire à 3,7 GHz.**

par Jean-Louis DORMANN

Laboratoire de Magnétisme et de Physique du Solide du C.N.R.S.  
Bellevue (Seine-et-Oise).

---

Une plaquette de ferrite de longueur  $l$ , placée dans un guide rectangulaire et soumise à un champ magnétique continu, dispositif correspondant aux lignes à sens unique, provoque une atténuation de l'énergie électromagnétique. Nous savons qu'il se propage dans la ligne  $n$  modes de constantes de propagation  $\gamma_n$  et d'amplitudes différentes [1]. L'affaiblissement peut être dû d'une part à la création de modes presque évanescents nécessaires au réarrangement des ondes aux deux extrémités de la ligne et d'autre part, à l'amortissement des modes transportant de la puissance.

## **I. PERTE DE PUISSANCE DUE AUX EXTRÉMITÉS; INFLUENCE DE LA LONGUEUR DE LA LIGNE.**

Etudions les différents modes transmis; leur constante de propagation  $\gamma_n$  peut s'écrire:

$$\gamma_n = -(\gamma'_n + j \gamma''_n)$$

La numération est faite de telle façon que  $\gamma'_{(n+1)} > \gamma'_n$ . Comme le facteur de propagation est  $e^{\gamma_n y}$ , seuls les modes ayant un  $\gamma'_n$  très faible se propagent jusqu'à la fin de la ligne sans être trop atténués; appelons  $P_n$  la puissance correspondant à chaque mode. Après la première transition (prenons  $y = 0$ ), nous avons:

$$\begin{aligned} P_1 &= K_1 Pe \\ P_2 &= K_2 Pe \\ \dots &\quad \text{avec } \sum_n K_n = 1 \\ P_n &= K_n Pe \end{aligned}$$

Supposons par exemple que seuls les deux premiers modes ne soient pas trop atténués à la fin de la ligne, pour  $y = l$ . La puissance transmise est:

$$P_t = Pe \left[ K_1 e^{-2\gamma'_1 l} + K_2 e^{-2\gamma'_2 l} \right]$$

l'atténuation est en décibels:

$$A \simeq 4,34 \log \frac{Pt}{Pe} \simeq 4,34 \log \left[ K_1 e^{-2\gamma'_1 l} + K_2 e^{-2\gamma'_2 l} \right]$$

Lorsque  $K_2$  est petit devant  $K_1$ ,  $\gamma'_2$  grand devant  $\gamma'_1$  (Le premier mode est donc prépondérant), la courbe  $A = f(l)$  est presque une droite passant par l'origine. Or expérimentalement, si nous traçons  $A = f(l)$  pour des positions «  $c$  » différentes de la plaquette dans le guide, nous trouvons un réseau de droites passant par l'origine. Par conséquent, les pertes dues aux extrémités sont négligeables et seul le premier mode transporte de la puissance.

## II. PERTE DE PUISSANCE DUE A L'AMORTISSEMENT; INFLUENCE DE L'ÉPAISSEUR $2\alpha$ DE LA PLAQUETTE.

Nous ne savons pas résoudre directement le système donnant  $\gamma$ . Par contre, si l'épaisseur de la plaquette est très faible, nous avons:

$$\left. \begin{aligned} v_a &= \sqrt{\gamma^2 + \omega^2 \epsilon_0 \mu_0} = \frac{\pi}{b} + p \\ p &= p' + j p'' \quad p \text{ petit devant } \frac{\pi}{b} \end{aligned} \right\} \quad (1)$$

(b largeur du guide)

En développant le système en  $\alpha$  et  $p$  et en nous limitant au terme du premier degré, en prenant le facteur démagnétisant  $N_y$  nul, nous obtenons:

$$\left. \begin{aligned} -\frac{p b^2}{\pi \alpha} - \left[ \frac{\mu_1 \mu_2 - K_1 K_2}{\mu_0 \mu_1} + \frac{\mu_0}{\mu_1} - 2 + \frac{4 b^2}{\lambda^2} \left( \epsilon_r - \frac{\mu_0}{\mu_1} \right) \right] + \\ + \left[ \frac{\mu_1 \mu_2 - K_1 K_2}{\mu_0 \mu_1} - \frac{\mu_0}{\mu_1} - \frac{4 b^2}{\lambda^2} \left( \epsilon_r - \frac{\mu_0}{\mu_1} \right) \right] \cos \frac{\pi}{b} (b - 2c) + \\ + j \gamma_0 \frac{K_1 + K_2}{\mu_1} \sin \frac{\pi}{b} (b - 2c) = 0 \\ \gamma_0 = -\sqrt{1 - \frac{4 b^2}{\lambda^2}} \quad \gamma = \frac{\pi}{b} \gamma_0 + \frac{p}{\gamma_0} \end{aligned} \right\} \quad (2)$$

$\lambda$  longueur d'onde dans le vide;  $\frac{\pi}{b} \gamma_0$  constante de propagation du mode TE<sub>01</sub> dans l'air;  $\epsilon_r$  permittivité relative du ferrite;  $\mu_1 \mu_2 K_1 K_2$  composantes du tenseur de perméabilité.

L'affaiblissement du mode est égal à :

$$A = 8,38 \frac{l}{\gamma_0} p'' \quad \text{en décibels.} \quad (3)$$

Par conséquent, la courbe  $A = f(c)$  a une forme sinusoïdale, et, le minimum et le maximum sont obtenus pour deux valeurs de  $c$  distantes de  $b$ ; d'autre part,  $A$  est proportionnel à  $\alpha$ : ces propriétés pourront servir de critère pour

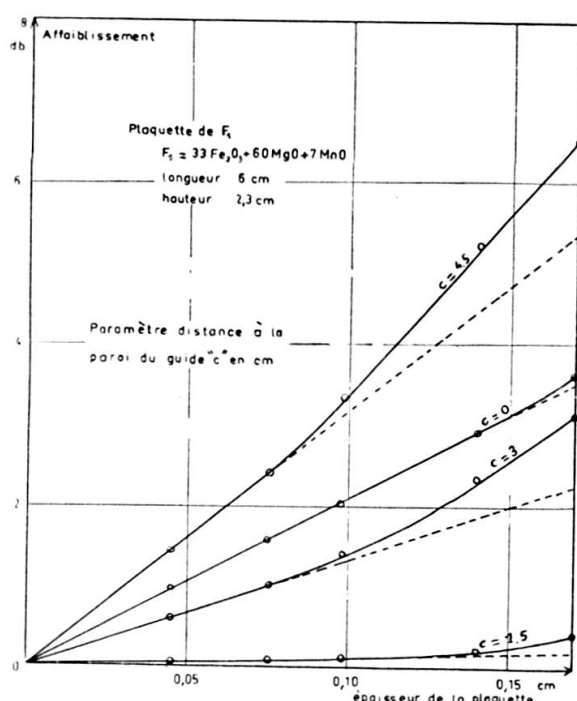


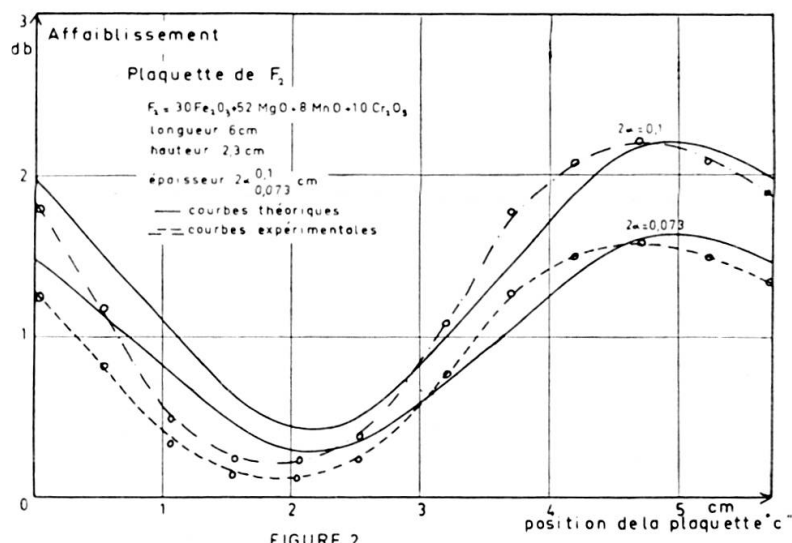
FIGURE 1

déterminer si (2) est valable. Traçons expérimentalement  $A = f(\alpha)$  pour différentes valeurs de «  $c$  » (figure 1); nous voyons que la proportionnalité à  $\alpha$  est respectée pour des valeurs de  $2 \alpha \leqslant 0,9$  cm.

### III. VÉRIFICATION EXPÉRIMENTALE DE LA FORMULE DONNANT L'AFFAIBLISSEMENT.

Il faut déterminer  $\mu_1 \mu_2 K_1 K_2$  et  $\epsilon_r''$  pour vérifier l'équation (2). Nous mesurons  $\epsilon_r''$  par la méthode de la ligne fendue; pour calculer les différentes composantes du tenseur de perméabilité à partir des formules de Hogan [2, 1], les mesures de la largeur de ligne, du rapport gyromagnétique, du moment à saturation et du champ continu appliqué sont nécessaires. Le

rapport gyromagnétique et la largeur de ligne sont mesurés en cavité par une méthode directe [3]. Représentons sur la figure (2)  $A = f(c)$  mesuré directement en guide rectangulaire (courbe en pointillés) et  $A = f(c)$  calculé à partir de l'équation (2) (courbe en plein), tracés pour deux épaisseurs différentes. Nous obtenons une assez bonne vérification, compte-tenu des erreurs faites sur les six mesures expérimentales nécessaires.



L'équation (2) peut donc être considérée comme valable; à l'aide de celle-ci, nous pourrons calculer les valeurs optimales des paramètres donnant aux lignes à sens unique les meilleures performances pour cette configuration.

#### BIBLIOGRAPHIE

1. DORMANN, J.-L., *Thèse Paris* (1960).
2. HOGAN, C. L., *Bell Syst. Tech. J.*, 31, 1-31 (Janv. 52).
3. BERTEAUD, A.-J., *Thèse Paris* (1960).